

# A Brief Review on Fabrication of Three-dimensional Porous Scaffolds by Electrospinning-Part I: Physical Methods

Zahra Pedram Rad and Javad Mokhtari\*

Department of Textile Engineering, Faculty of Engineering, University of Guilan,  
P.O. Box: 41635-3756, Rasht, Iran

Received: 27 June 2015, Accepted: 15 September 2015

## Abstract

Nanofiber scaffolds possess high surface-to-volume ratios and adjustable porosity which promotes cellular activities such as attachment and infiltration, therefore providing some key characteristics of the native extracellular matrix. Compared to other production methods of nanofibers, electrospinning is a versatile and simple procedure. Due to recent developments and improvements, electrospinning is becoming a popular technique in the fabrication of three-dimensional (3D) scaffolds. In general, 3D scaffolds can provide a better link between single cells and organs than conventional 2D scaffolds. To date, several approaches have been proposed to fabricate 3D fiber structures by electrospinning. This article summarizes the production of 3D scaffolds using electrospinning techniques by physical methods including combining rapid prototyping and direct-write with electrospinning, post-processing after electrospinning (laser process, physical punching method), liquid-assisted collection, template-assisted collection, porogen-added electrospinning, co-axial electrospinning, and needleless electrospinning. Furthermore, the role of various factors like voltage and humidity in electrospun scaffolds is discussed.

## Key Words

tissue engineering,  
nanofiber,  
electrospinning,  
3D scaffold,  
cell culture

(\*) To whom correspondence should be addressed.  
E-mail: j.mokhtari@guilan.ac.ir

# مروري کوتاه بر روش‌های تهیه داربست‌های سه‌بعدی و متخلخل از راه الکتروریسی – قسمت اول: روش‌های فیزیکی

زهراء پدرام راد، جواد مختاری\*

رشت، دانشگاه گیلان، دانشکده فنی، گروه مهندسی نساجی، صندوق پستی ۴۱۶۳۵-۳۷۵۶

دریافت: ۱۳۹۴/۴/۶، پذیرش: ۱۳۹۴/۶/۲۴

بسپارش  
فصلنامه علمی- ترویجی  
۲ سال ششم، شماره ۲  
صفحه ۵۶-۴۳، ۱۳۹۵  
ISSN: 2252-0449

## چکیده



زهراء پدرام راد



جواد مختاری

داربست‌های نانوالیافی نسبت سطح به حجم زیاد و تخلخل تنظیم‌پذیر دارند. این ویژگی‌ها باعث پیش‌رفت فعالیت‌های سلولی، مانند چسبندگی و نفوذ می‌شود. این داربست‌ها، بعضی از خواص کلیدی ماتریس برون‌سلولی طبیعی را ارائه می‌دهند. الکتروریسی در مقایسه با سایر فرایندهای تولید نانوالیاف، روشی ساده و متنوع است. روش نامبرده، به علت توسعه و اصلاحات اخیر در فناوری آن، تبدیل به روشی محبوب برای تولید داربست‌های سه‌بعدی شده است. به طورکلی، داربست سه‌بعدی نسبت به داربست دو‌بعدی می‌تواند پیوند بهتری میان سلول و اندام برقدار کند. تا به امروز، رویکردهای مختلفی برای تهیه ساختارهای سه‌بعدی الیافی از الکتروریسی پیشنهاد شده است. مقاله پیش رو، خلاصه‌ای از روش‌های فیزیکی تولید داربست‌های سه‌بعدی به‌کمک الکتروریسی، از جمله ترکیب الگوبرداری سریع و چاپ مستقیم با الکتروریسی، فرایندهای اصلاح پس از الکتروریسی (فرایند لیزر، روش فیزیکی پانچ)، جمع‌آوری الیاف با کمک سیال، جمع‌آوری الیاف به‌وسیله قالب، افزودن ذرات به الکتروریسی، الکتروریسی هم محور و الکتروریسی بدون سوزن را بیان می‌کند. افزون بر آن، نقش عوامل مختلف، مانند ولتاژ و رطوبت در داربست‌های الکتروریسی شده نیز بررسی می‌شود.

## وازگان کلیدی

مهندسی بافت،  
نانوالیاف،  
الکتروریسی،  
داربست سه‌بعدی،  
کشت سلول

\* مسئول مکاتبات، پیام‌نگار:  
j.mokhtari@guilan.ac.ir

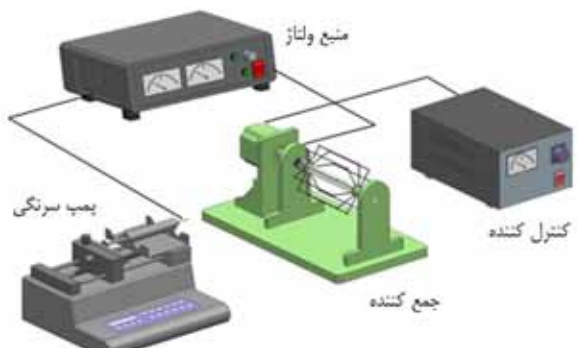
سلول‌های کشته شده در داربست سه‌بعدی نسبت به نوع دو بعدی معمولی می‌تواند پیوند بهتری با اندام ایجاد کند. زیرا داربست‌های سه‌بعدی، جهت دیگری برای واکنش‌های سلول-سلول، مهاجرت سلولی و شکل سلول‌ها ارائه می‌دهند که در تنظیم چرخه سلولی و عملکرد بافت مهم است. همچنین، ریزمحیط‌های سه‌بعدی با اتصالات داخلی به منظور تحریک و سازمان‌دهی مجدد سلول دارای اهمیت هستند. زیرا آن‌ها، نه تنها برای چسبیدن و رشد سلول‌ها قالب ایجاد می‌کنند، بلکه ایجاد اتصالات داخلی، انتقال مواد غذی به داخل و خارج بافت مهندسی شده را آسان می‌کنند. ازین‌رو، نیاز به داربست سه‌بعدی و متخلخل در مهندسی بافت احساس می‌شود [۱۰-۱۷]. در مقاله مروری پیش رو، به‌طور خلاصه به پیشرفت‌های اخیر در تولید داربست‌های نanolيفی سه‌بعدی با روش‌های الکتروریسی (روش‌های فیزیکی) اصلاح جمع‌کننده، صفحه سرد (cold-plate)، حمام انعقاد، همراه با فرایند لیزر، همراه با فرایند الگوبرداری سریع (rapid prototyping)، چاپ مستقیم (direct-write) یا DWES، دوافشانکی و هم محور، همراه با فرایند حذف ذرات (porogen addition)، با ولتاژ مثبت و منفی و الکتروریسی بدون سوزن، پرداخته شده است.

### تولید داربست‌های سه‌بعدی و متخلخل با روش الکتروریسی

#### اصلاح جمع‌کننده

امروزه، تولید داربست سه‌بعدی به کمک طراحی جمع‌کننده، با توجه به کنترل آسان آن رایج است. جمع‌کننده می‌تواند مکانیکی و با شکل مدنظر، مانند جمع‌کننده‌های چرخشی یا ساکن، یا به شکل سایر سازه‌های لیفی، مانند میکرولایاف باشد [۱۳-۱۱].

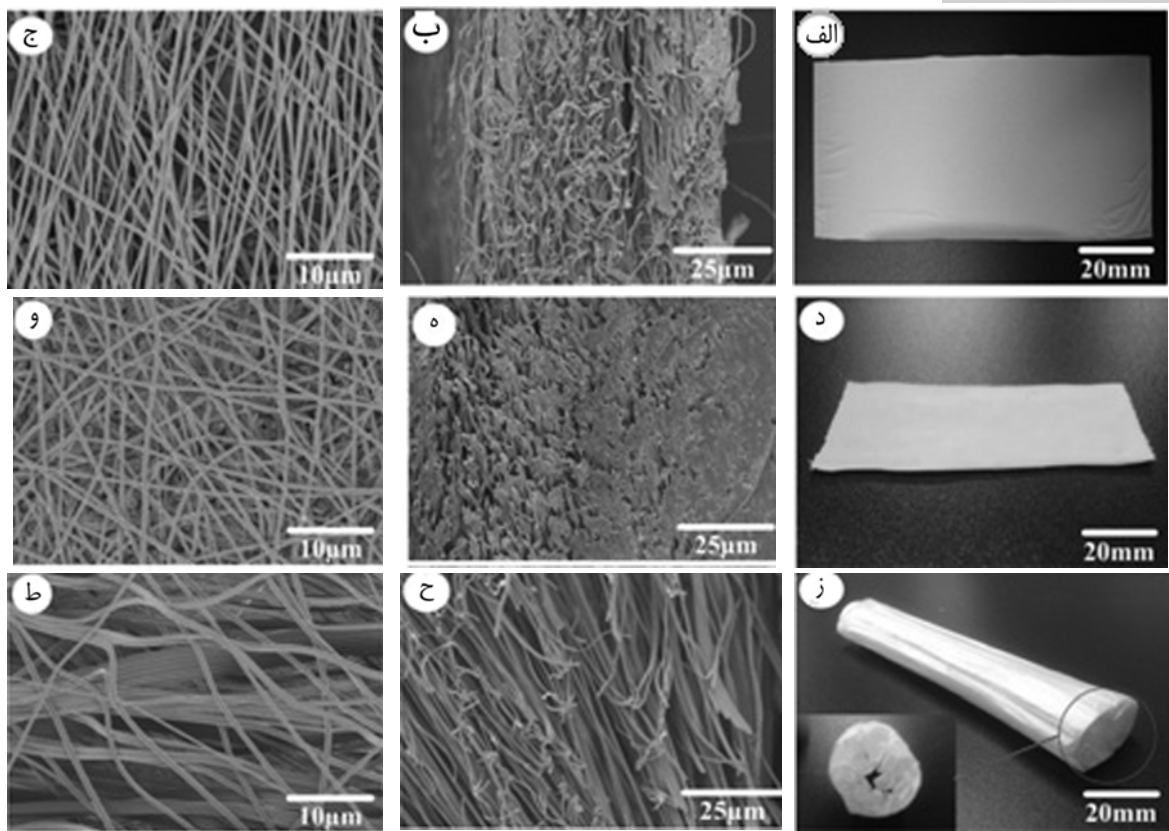
Wang و همکاران برای تولید ساختارهای نanolيفی سه‌بعدی پلی‌لکتیک-گلیکولیک‌اسید (PLGA) در سامانه الکتروریسی معمولی از جمع‌کننده تنظیم‌شونده به جای نوع معمولی استفاده کردند (شکل ۱). چرخانه قفسی (cage rotor) بخش مهمی از



شکل ۱- نمایی از سامانه الکتروریسی پیشنهادی [۱۴].

از معضلات بزرگی که علم پزشکی از دیرباز با آن درگیر بوده، ارائه درمان قطعی برای بازسازی بافت‌های از کارافتاده و معیوب است. متداول‌ترین شیوه در درمان این نوع بافت‌ها روش پیوند است که خود با مشکلات متعدد روبه‌روست. ازین‌رو، نیاز به مهندسی بافت و تولید داربست از پلیمرهای طبیعی و مصنوعی بیش از پیش احساس می‌شود. پایه مهندسی بافت بر اساس سه رکن اصلی داربست، سلول و عوامل رشد است [۱]. نقش اصلی مهندسی بافت، تولید بافت مصنوعی برای جایگزینی عملکردهای زیست‌شناختی در بازسازی نسیج‌ها و التیام زخم است. ایجاد چنین جایگزینی به داربست سه‌بعدی، متخلخل، زیست‌سازگار و ترجیحاً زیست‌تخریب‌پذیر نیاز دارد. این داربست باید ماتریس برون‌سلولی (ECM) را تقليید کرده، بستر مناسبی برای چسبندگی و رشد سلول فراهم کند [۲]. در این میان، انتخاب داربست‌های مناسب به عنوان محیطی برای رشد و تکثیر سلول از اصول اساسی در مهندسی بافت به شمار می‌آید. زیرا داربست‌ها وظیفه نگهداری سلول‌ها، شکل‌دهی رشد آن‌ها و کنترل طبق ساختار بافت مصنوعی با بافت طبیعی از نظر خواص فیزیکی و شیمیایی را بر عهده دارد. به همین دلیل، روش‌های زیادی برای تولید آن‌ها وجود دارد. اما در سال‌های اخیر، استفاده از نانولایاف در تولید داربست‌ها جایگاه ویژه‌ای را به خود اختصاص داده است [۳-۵]. داربست‌های نانولایافی نسبت سطح به حجم و تخلخل زیادی دارند. این ویژگی‌ها باعث افزایش چسبندگی سلول به سطح آن‌ها می‌شود. همچنین، نتایج پژوهش انجام شده نشان می‌دهد، سلول‌ها به خوبی در اطراف الیاف با قطر کمتر از سلول (در حد نانومتر) می‌چسبند و سازمان‌دهی می‌شوند. امروزه، سه روش اصلی برای ساخت داربست‌های نanoliveyi شامل خودآرایی، الکتروریسی و جدایش فاز وجود دارد که هر کدام قابلیت‌ها، مزایا و معایب خود را دارند [۶]. الکتروریسی روشنی شناخته شده در جهان است که تولید الیاف نانو و میکرو را از محلول یا مذاب پلیمری در میدان الکتریکی قوی امکان‌پذیر می‌کند. روش الکتروریسی به دلیل تغییر تخلخل، نسبت زیاد سطح به حجم غشای الکتروریسی شده و ساده‌بودن فرایند آن برای کاربردهایی، مانند مهندسی بافت، بسیار جذاب است [۷-۶]. با وجود این، دو ابراد بزرگ در داربست‌های الکتروریسی وجود دارد. اول، اندازه حفره میکرومتری به‌علت لایه‌گذاری تصادفی الیاف است که باعث مشکلات نفوذ سلول می‌شود. دوم، برخی کاربردهای مهندسی بافت به داربست‌های با ضخامت میلی‌متری یا سانتی‌متری نیاز دارند. افزون بر این،





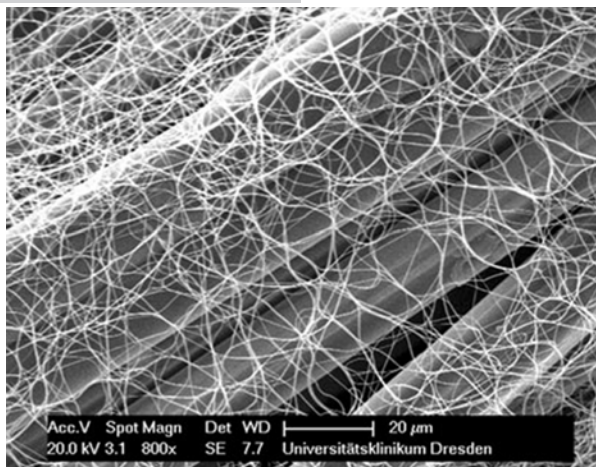
شکل ۲- تصاویر SEM سطح رویی و جانبی داربست نانولیفی PLGA: (الف-ج) داربست تولید شده با الکتروریسی معمولی در ۱، (د-و) داربست تولید شده با الکتروریسی معمولی در ۵ h و (ز-ط) داربست سه‌بعدی تولید شده با سامانه پیشنهادی [۱۴].

(interconnected pores) برای مهندسی بافت استخوان، داربستی بر پایه هیدروکسی‌آپاتیت تولید کردند. آن‌ها ابتدا پلیمر پلی‌لакتیک اسید را در مخلوطی از حلال‌های دی‌کلرومتان (DCM) و دی‌متیل‌فرمamid (DMF) حل و الکتروریسی کردند. سپس، زیست‌معدنی‌سازی (biomineralization) با کمک مایع شبیه‌سازی شده بدن (SBF) و با هدف به دست آوردن هیدروکسی‌آپاتیت پوشش یافته در سطح الیاف انجام شد (شکل ۳-ب). در داربست نهایی تولید شده، منافذ متصل زیادی ظاهر شد که اجازه نفوذ سلول به درون داربست سه‌بعدی ساخته شده را می‌داد. در فرایند الکتروریسی به جای استفاده از جمع‌کننده معمولی از جمع‌کننده

جمع‌کننده است. قطر آن به راحتی می‌تواند با چرخاندن مهره نصب شده روی دوک نخریسی تنظیم شود. این پژوهشگران برای نشان‌دادن عملکرد سامانه، سازه‌های ساخته شده با سامانه پیشنهادی را با داربست‌های تولید شده از الکتروریسی معمولی مقایسه کردند. تصاویر میکروسکوپی و نتایج به دست آمده از این پژوهش نشان می‌دهد، داربست ساخته شده با سامانه پیشنهادی ضخامت و تخلخل بیشتری نسبت به داربست‌های معمولی دارد. افزون بر این، ساختار سه‌بعدی داربست نیز دارای تخلخل زیاد، ساختار هندسی پایدار و خواص مکانیکی مناسب است (شکل ۲ و جدول ۱) [۱۴]. Jin و همکاران با هدف توسعه داربست الیافی نرم با منافذ متصل

جدول ۱- ضخامت، چگالی و تخلخل داربست‌های نانوالیافی الکتروریسی شده [۱۴].

نوع	روش	زمان (h)	ضخامت (μm)	چگالی (g/cm <sup>3</sup> )	تخلخل (%)
الف	الکتروریسی معمولی	۱	۸۵	۰/۲۵	۷۸
ب	الکتروریسی معمولی	۵	۳۰۰	۰/۳۱	۷۳
ج	روش پیشنهادی	۵	۱۵۰۰	۰/۰۲	۹۸



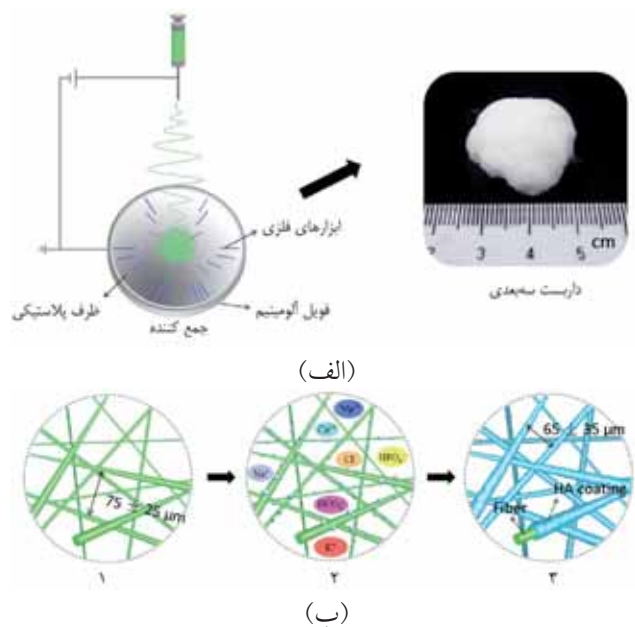
شکل ۵- تصویر SEM از داربست کامپوزیتی کیتوسان و ژلاتین [۱۶].

نفوذ و ترویج سلول های استخوانی را دارد [۱۵]. Hild و همکاران داربست های کامپوزیتی سه بعدی نانو و میکرولیفی را از ژلاتین و کیتوسان تهیه کردند. بدین منظور، آنها الیاف کیتوسان بافتہ شده را، با کمک ماشین بافنده گی جدید (ماشین بافنده گی ریبر یا صاف) تهیه کردند. سپس، نانو الیاف ژلاتین را با روش الکتروریسی روی الیاف کیتوسان بافتہ شده جمع آوری کردند (شکل ۴). بدین ترتیب، آنها توانستند از نانو الیاف داربستی با استحکام مکانیکی کافی و ساختار متخلخل تهیه کنند (شکل ۵). سپس، رفتار کشت سلول را در این داربست سه بعدی بررسی کردند. نتایج نشان داد، داربست تهیه شده خواص مکانیکی کافی و تخلخل مناسب برای کاربردهای مهندسی بافت دارد [۱۶].

#### الکتروریسی صفحه سرد

در این روش جمع کننده به سرد کننده (chiller) متصل می شود که قابلیت سرد کردن صفحه جمع کننده را تا  $-90^{\circ}\text{C}$  دارد (شکل ۶). از این رو، به دلیل رسوب بلورهای یخ و افزایش رطوبت، رسانش الکتریکی الیاف افزایش می یابد. در اثر بار الکتریکی، نانو الیاف سریع تر به جمع کننده منتقل می شوند. همچنین، به علت رطوبت زیاد وجود بلورهای یخ میان الیاف، یون های جدا شده روی سطح الیاف جمع می شوند و الیاف یکدیگر را دفع می کنند. بدین ترتیب، داربست متخلخل و سه بعدی به دست می آید.

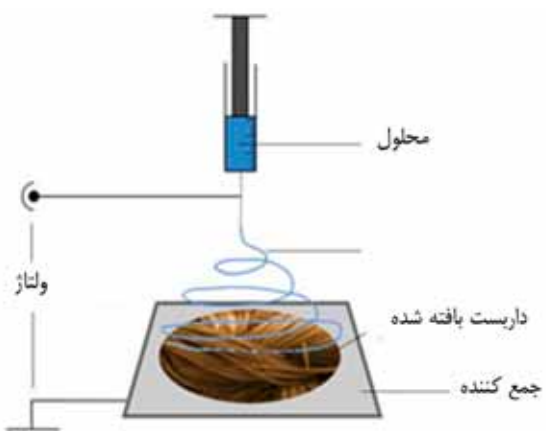
Faheem و همکاران با استفاده از فناوری الکتروریسی صفحه سرد (CPE)، داربست الیافی سه بعدی ابریشم را برای کاربرد در ساخت پوست مصنوعی تولید کردند. همچنین، آنها نانو الیاف به دست آمده از این روش را با لایه نانو الیاف دو بعدی تولید شده با الکتروریسی معمولی (TE) و داربست نانو الیافی سه بعدی تولید شده با



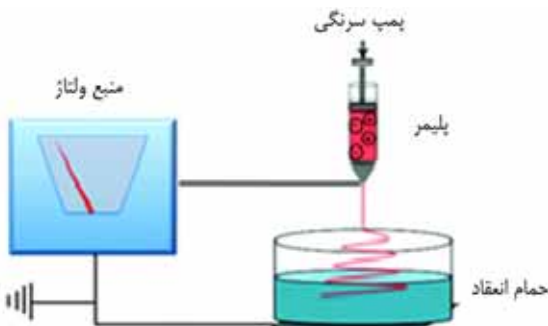
شکل ۳- (الف) نمایی از فرایند ساخت الیاف نرم PLLA با استفاده از الکتروریسی با جمع کننده ویژه، (ب-۱) الیاف PLLA، (ب-۲) الیاف SBF غوطه ور شده در SBF و (ب-۳) الیاف PLLA غوطه ور شده در SBF به مدت ۲۱ روز و رشد HA روی سطح الیاف [۱۵].

ویژه استفاده شد (شکل ۳-الف). این کار با جاسازی منظم کاونده های فولاد زنگنزن در ظرف پلاستیکی پوشش یافته با فویل آلومینیم، انجام می شود. این ابزارها باعث می شوند، الیاف در محدوده کوچکی روی یکدیگر جمع آوری شوند و داربست سه بعدی به دست آید. درنهایت، روی داربست تولید شده آزمایش کشت سلول انجام می شود.

نتایج این پژوهش نشان داد، داربست ساخته شده قابلیت رشد،



شکل ۴- نمایی از الکتروریسی محلول ژلاتین روی داربست کیتوسان بافتہ شده [۱۶].



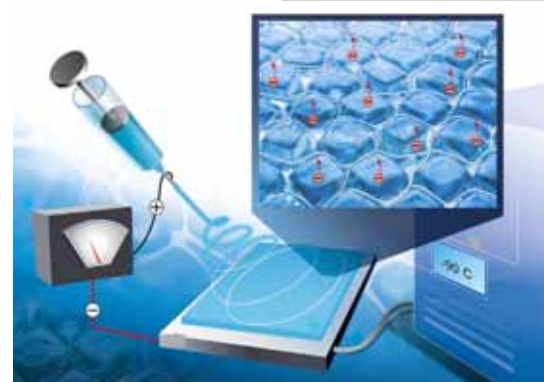
شکل ۸- نمایی از الکتروریسی در حمام انعقاد [۲۰].

می‌شود (شکل ۸). در حقیقت، حمام اتانول به عنوان جمع‌کننده به کار می‌رود. سرعت تغذیه اتانول نیز به طور دستی تنظیم می‌شود. با این روش، ضخامت و ساختار سه‌بعدی داربست کنترل می‌شود. به دلیل کشش سطحی کم اتانول، پلیمر به آرامی در حمام اتانول تهشین می‌شود و داربستی با ساختار سه‌بعدی به دست می‌آید. در حالی‌که، الیاف الکتروریسی شده در آب خالص به دلیل کشش سطحی به نسبت زیاد آب به خوبی تهشین نمی‌شوند [۱۸، ۱۹].

**الکتروریسی مرطوب همراه با فرایند لیزر**

Kim و همکاران داربست نانوآلیافی سه‌بعدی با تخلخل زیاد را به کمک روش الکتروریسی همراه فرایند لیزر تولید کردند. آن‌ها برای تهیه داربست، پلی‌کاپرولاتکان (PCL) را به حمام اتانول الکتروریسی داخل کردند. پلی‌کاپرولاتکان به آرامی در حمام اتانول تهشین شد و داربستی با ساختار سه‌بعدی ایجاد کرد. سپس، داربست به‌وسیله خشک‌کن انجامد خلاً خشک شد (شکل ۹). درنهایت، برای ایجاد منفذ بزرگ‌تر در سطح داربست، از فرایند لیزر استفاده شد. در حقیقت، نور لیزر پس از عبور از تعدادی آینه، به سطح داربست برخورد می‌کند. این کار باعث ایجاد منفذ در داربست می‌شود. پالس لیزری بسیار کوتاه به مقدار درخور توجیهی طول انتشار گرمایی را کاهش می‌دهد، به طوری که فراوری مواد می‌تواند مؤثرتر و با آسیب‌رسانی کمتر به محیط اطراف بیفتند. برای تولید منفذ همگن در ساختار داربست، شرایط فرایند لیزر، مانند منفذ متتمرکز شده، تعداد پالس‌ها و فاصله کنترل می‌شود. نتایج نشان داد، با ازدیاد زمان نوردهی لیزر، اندازه حفره نیز افزایش می‌یابد (شکل ۱۰-ج).

بدین ترتیب، در این مطالعه داربست‌های سه‌بعدی با منافذ طراحی شده یکسان به دست آمد (شکل ۱۰). پس از کشت سلول روی داربست نتایج نشان داد، داربست تولید شده قابلیت کاربرد در



شکل ۶- نمایی از روش الکتروریسی صفحه سرد [۱۷].

استفاده از روش الکتروریسی حذف نمک (SLE) مقایسه کردند. شایان توجه است، در این پژوهش برای تهیه محلول الکتروریسی از دو پلیمر ابریشم و پلی‌اتیلن اکسید (PEO) استفاده شد. سپس، تمام نانوآلیاف ساخته شده، بلافاصله به خشک‌کن انجامد و در اتانول ۹۵٪ غوطه‌ور شدند. در مرحله بعد، PEO با کمک آب قطره حذف شد. نتایج نشان داد، ضخامت داربست تولید شده با روش CPE نسبت به دو روش دیگر بیشتر است و برای تکثیر و رشد سلول مناسب است (شکل ۷).

بر اساس نتایج به دست آمده از محاسبه خواص فیزیکی (تورم، برداشت آب و درصد تخلخل)، داربست تولید شده با روش الکتروریسی صفحه سرد، نسبت به داربست‌های تولید شده با روش‌های TE و SLE خواص بسیار بهتری دارد. این مطالعه نشان داد، روش CPE نانوآلیاف سه‌بعدی، بسیار متخلخل و ضخیم فراهم می‌کند. این محصول موجب بهبود عملکرد کلی و نفوذ بهتر سلول می‌شود و برای بافت پوست مناسب است [۱۷].

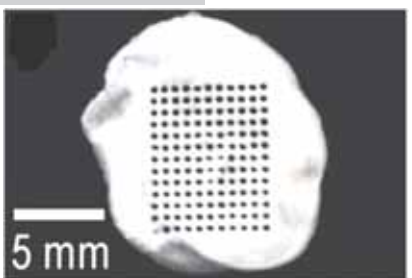
#### الکتروریسی در حمام انعقاد (الکتروریسی مرطوب)

در این روش برای تهیه داربست، پلیمر درون حمام انعقاد الکتروریسی

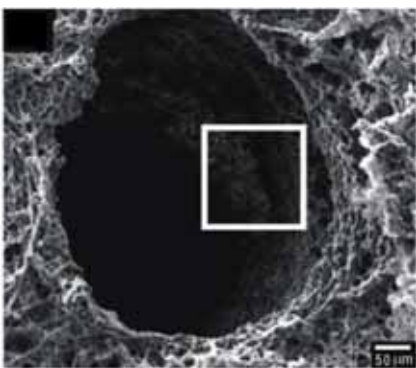


شکل ۷- مقایسه ضخامت داربست‌های تولید شده با سه روش SLE و TE و CPE [۱۷].

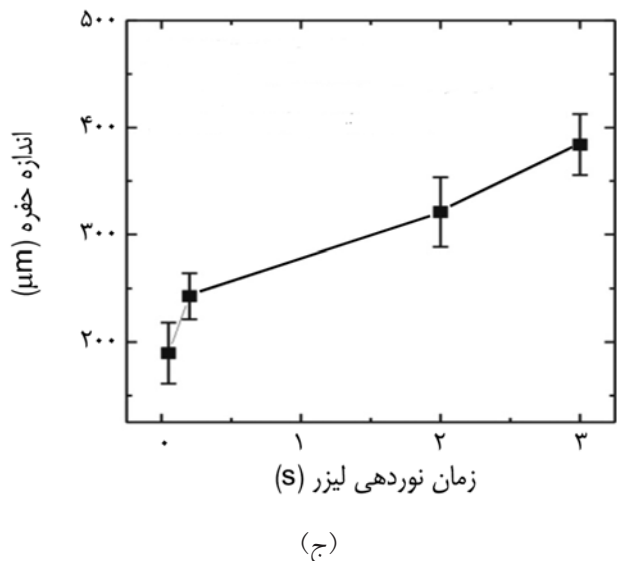
## دیگر میمی



(الف)



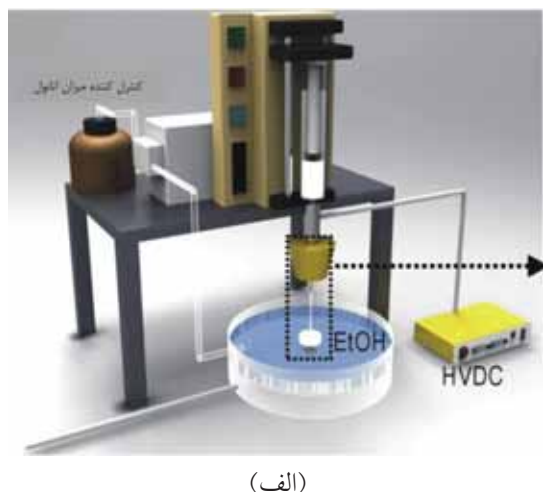
(ب)



(ج)

شکل ۱۰- (الف) تصویر میکروسکوپ نوری و (ب) تصویر SEM از داربست سه‌بعدی ساخته شده پس از فرایند لیزر و (ج) مقایسه اندازه منافذ برای تعداد پالس‌های مختلف لیزر [۲۱].

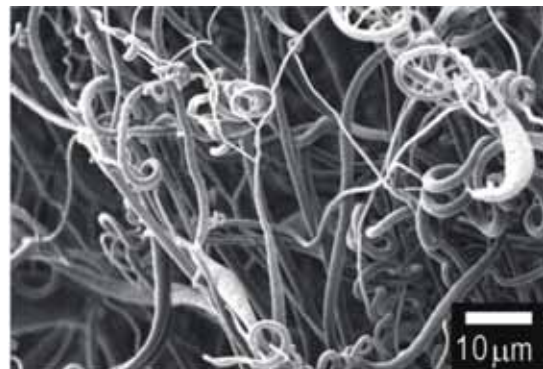
در این روش به کمک رایانه و یک دستگاه ذوب-ثبت یا رسم مسیر حرکت، پلیمر ذوب شده به شکل شبکه‌ای عمود بر هم تولید می‌شود. با وجود این، در داربست‌های تولید شده به کمک این روش حفره‌ایی با اندازه‌های بسیار بزرگ‌تر از اندازه سلول ایجاد می‌شوند که برای چسبندگی و رشد سلول مناسب نیست. از سوی دیگر، داربست‌های ساخته شده با الکتروریسی استحکام کمی دارند. از این‌رو، پژوهشگران به منظور تولید داربست‌های سه‌بعدی با اندازه



(الف)



(ب)



(ج)

شکل ۹- (الف) نمایی از فرایند الکتروریسی با حمام اتانول، (ب) الیاف سه‌بعدی الکتروریسی شده در حمام اتانول و (ج) تصویر SEM داربست سه‌بعدی تولید شده از الیاف PCL [۲۱].

مهندسی بافت را دارد [۲۱].

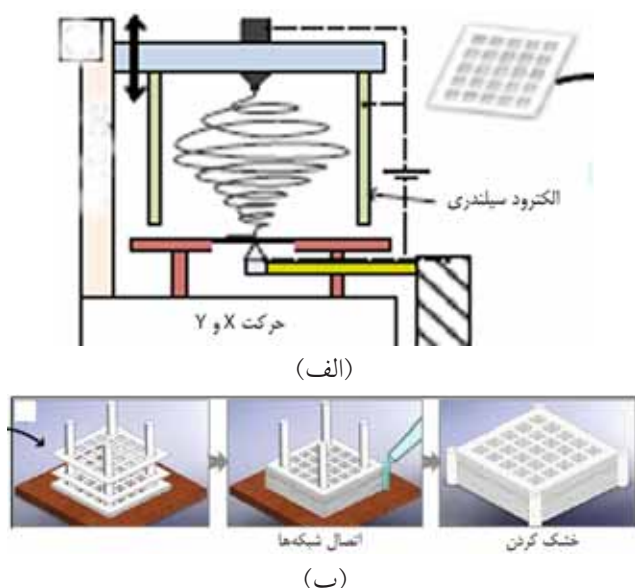
**الکتروریسی مرطوب همراه با فرایند الگوبرداری سریع**  
الگوبرداری سریع، روشی امیدوارکننده برای تهیه داربست‌های سه‌بعدی با شکل دلخواه و منافذ متصل است. مطالعات زیادی بر توسعه روش‌های مختلف الگوبرداری سریع متمرکز شده است.

منظور، ابتدا داربست در دمای  $-76^{\circ}\text{C}$ - منجمد شد. سپس، آن را با میله فولادی تیز سوراخ کردند. با این کار، داربست پلی‌کاپرولاکتان-آلزینات بسیار متخلخل با شبکه پلی‌کاپرولاکتان جاسازی شده به دست آمد (شکل ۱۱). با توجه به نتایج می‌توان گفت، خواص مکانیکی داربست‌ها به راحتی به وسیله لایه‌های PCL تولید شده با الگوبرداری سریع، افزایش یافت [۷].

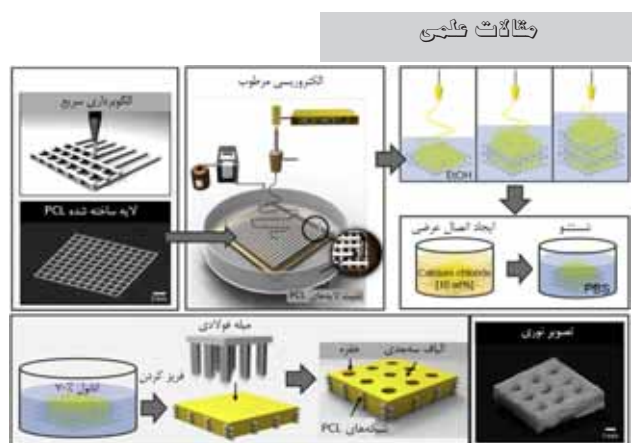
### الکتروریسی چاپ مستقیم (DWES)

در روش چاپ مستقیم دو عملیات تمرکز جت الکتروریسی در یک نقطه و پویش جمع‌کننده در طول مسیر از پیش معین، به الکتروریسی معمولی افزوده می‌شود. بدین منظور، مطابق شکل الکترود میله‌ای تیز (sharp-pin) در جمع‌کننده و الکترود استوانه‌ای اطراف میدان الکتریکی قرار داده می‌شود. بدین ترتیب، میدان الکتریکی به شکل مستقیم به سمت الکترود جمع‌کننده متتمرکز می‌شود. درنتیجه نانوالياف با توجه به مسیر جمع‌کننده جمع‌آوری می‌شوند. با این روش، داربست نانواليافی سه‌بعدی با منافذ سه‌بعدی و متصل به دست می‌آید [۲۳، ۲۴].

Lee و همکاران داربست نانواليافی سه‌بعدی با منافذ شبکه‌ای (lattice pores) را با استفاده از روش الکتروریسی چاپ مستقیم تولید کردند. روش استفاده شده شامل دو مرحله الکتروریسی چاپ مستقیم برای تولید شبکه‌های نانواليافی و انباشتن لایه‌های شبکه‌ای روی یکدیگر، با هدف تولید داربست سه‌بعدی با منافذ منظم و



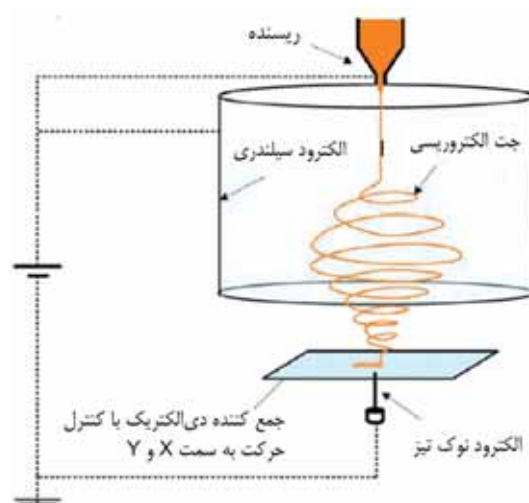
شکل ۱۳- مراحل تولید داربست سه‌بعدی: (الف) ساخت شبکه نانواليافی با استفاده از روش DWES و (ب) انباشتن شبکه‌ها و تولید داربست سه‌بعدی [۲۳].



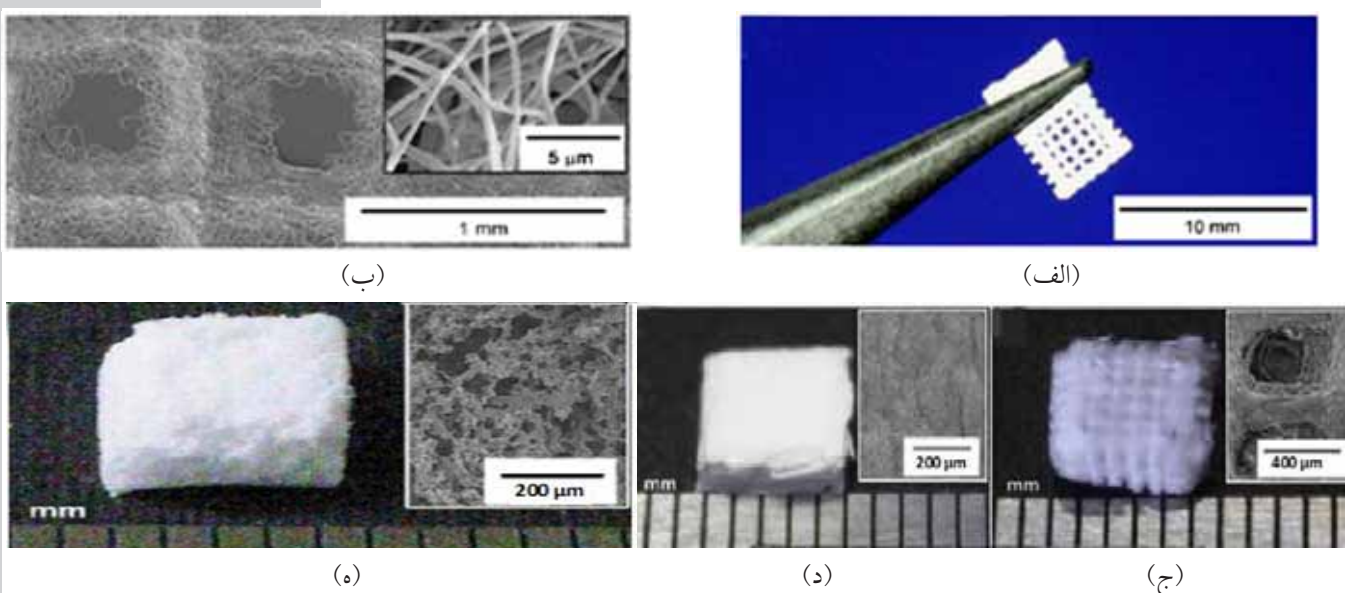
شکل ۱۱- نمای مراحل تهیه داربست پلی‌کاپرولاکتان-آلزینات [۷].

منافذ دلخواه و استحکام بیشتر، روش الگوبرداری سریع را با روش الکتروریسی ادغام کردند. در حقیقت، به کمک روش الگوبرداری سریع قالبی با حفره‌های منظم طراحی می‌شود که از آن به جای جمع‌کننده معمولی در الکتروریسی استفاده می‌شود [۲۲].

Hyung Kim و Seong Kim داربست سه‌بعدی از آلزینات و پلی‌کاپرولاکتان-آلزینات، با استفاده از روش ترکیبی الکتروریسی مرطوب و فرایند الگوبرداری سریع تهیه شد. ابتدا با کمک دستگاه ذوب-ثبت یا رسم مسیر حرکت، پلی‌کاپرولاکتان ذوب شده به شکل شبکه عمود برهم تولید شد. سپس با روش الکتروریسی، الیاف پلی‌کاپرولاکتان-آلزینات روی لایه متخلخل از شبکه پلی‌کاپرولاکتان در حمام اتانول لایه‌گذاری شد. در این فرایند، اتانول ترکیب واسطه برای به دست آوردن ساختار لیفی سه‌بعدی از پلی‌کاپرولاکتان-آلزینات بود. درنهایت، کامپوزیت پلی‌کاپرولاکتان-آلزینات ساخته شده، برای به دست آوردن منافذ به نسبت بزرگ اصلاح شد. بدین

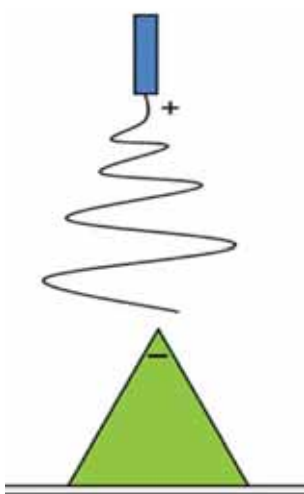


شکل ۱۲- نمایی از الکتروریسی چاپ مستقیم [۲۴].



شکل ۱۴- ویژگی‌های شبکه نانوالیاف طراحی شده با روش DWES و سه‌بعدی از داربست‌های تهیه شده با (ج) روش DWES، (د) الکتروریسی معمولی و (ه) حذف نمک [۲۳].

حل شدنند. پلی‌کاپرولاکتون در هسته داخلی و پلی‌استیرن در لایه خارجی (پوسته) الکتروریسی شدند [۸]. لایه خارجی پلی‌استیرنی نقش کلیدی در تهیه ساختار نرم سه‌بعدی ایفا می‌کند. محلول پلی‌استیرن و جت پلیمر خارج شده از نوک سوزن، در اثر ولتاژ مثبت اعمال شده به سر سوزن، دارای بار مثبت هستند. پس از فرایند کشش، ناپایداری شلاقی، متلاشی شدن جت و تبخیر حلال، بار مثبت الیاف به سرعت به جمع‌کننده دارای بار منفی منتقل می‌شود. از طرفی، به علت رسانابودن پلی‌استیرن، بار منفی از فویل آلومنیومی به الیاف منتقل و در نوک توده جمع می‌شود. الیاف به علت القای الکتروستاتیک و قطبی شدن در اثر میدان الکتروستاتیکی قوی دارای بار منفی می‌شوند. بارهای منفی



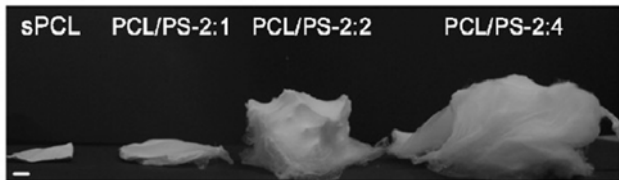
شکل ۱۵- نمایی از بارهای موجود در نوک توده الیاف [۲۶].

ضخامت کافی است. در این پژوهش از پلیمر کاپرولاکتون برای تهیه داربست استفاده شده است. لایه‌های شبکه‌ای نانوالیافی، پس از ساخت این شبکه‌ها روی یکدیگر انباشته می‌شوند. سپس، با ماده متصل‌کننده از محلول کلروفرم و پلی‌کاپرولاکتون به یکدیگر متصل می‌شوند (شکل ۱۳). در این مطالعه به منظور مقایسه، داربست پلی‌کاپرولاکتون را با سه روش چاپ مستقیم، الکتروریسی معمولی و روش حذف نمک تولید کردند. درنتیجه، با این روش داربست سه‌بعدی با منافذی منظم ساخته شد. در شکل ۱۴ داربست تهیه شده از این روش با داربست‌های تهیه شده با روش الکتروریسی معمولی و حذف نمک مقایسه شده است. برای نشان دادن برتری داربست پیشنهادی، رفتار سلول در داربست به مدت ۱۴ روز با روش الکتروریسی معمولی و حذف نمک مقایسه شد. نتایج نشان داد، داربست پیشنهادی محیط مناسب‌تری برای بازسازی بافت نرم سه‌بعدی از نظر مهاجرت و همچنین تکثیر و چسبیدن سلول فراهم می‌کند [۲۳].

### الکتروریسی‌های دوافشانکی و هم محور

روش‌های مختلفی برای تولید داربست‌های سه‌بعدی از الیاف دوچرخی وجود دارد [۲۵]. در این قسمت به طور مختصر دو پژوهش انجام شده در این زمینه توضیح داده می‌شوند.

Lee و همکاران الیاف پوسته-مغزی پلی‌کاپرولاکتون (PCL) و پلی‌استیرن (PS) را به کمک الکتروریسی هم محور تهیه کردند. به منظور تهیه محلول الکتروریسی، این دو پلیمر در مخلوط حلال‌های تتراهیدروفوران (THF) و دی‌متیل‌فرمamid (DMF)

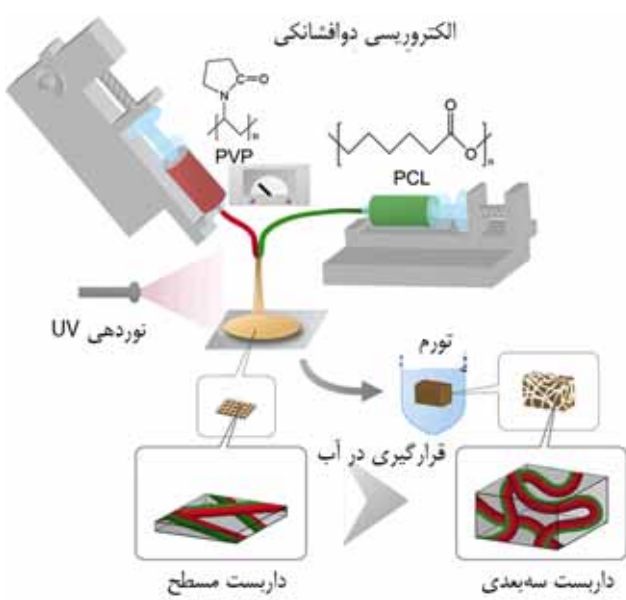


شکل ۱۶- تصاویر رقمنی از داربست سه بعدی تولید شده از PCL/[۸] PS.

ایجاد شده در سطح الیاف مانند جمع‌کننده جدید عمل کرده، الیاف ورودی با بار مثبت را جذب می‌کنند. بنابراین، الیاف جدید در نوک الیاف انباسته شده جمع می‌شوند (شکل ۱۵). در زمان کوتاهی، توده سه بعدی از الیاف به دست می‌آید. همان طور که در شکل ۱۶ مشاهده می‌شود، با افروzen در صد پلی‌استیرن داربست سه بعدی تشکیل می‌شود [۲۶].

اما از آنجا که پلی‌استیرن تخریب‌پذیری و خواص مکانیکی ضعیفی دارد، برای استفاده به عنوان داربست در مهندسی بافت مناسب نیست. بنابراین در کار حاضر پس از تهیه داربست، پلی‌استیرن با حلal DMF در دمای  $20^{\circ}\text{C}$ -شست و شو داده شد (انحلال‌پذیری پلی‌کاپرولاتون و پلی‌استیرن در DMF در دمای  $20^{\circ}\text{C}$ -بسیار متفاوت است). فرایند شست و شو ۵ بار تکرار شد. سپس داربست سه بار در اتانول و آب مقطر خیسانده شده و درنهایت به خشک کن انجامدادی منتقل شد تا داربست PCL الیافی سه بعدی به دست آید. همچنین در این کار، داربست‌های نانو الیافی با استفاده از مدل‌های درون آزمایشگاهی و درون‌تنی بررسی شدند تا قابلیت این الیاف برای استفاده در کاربردهای مهندسی بافت نشان داده شود.

نتایج نشان داد، داربست تهیه شده بسیار نرم و انعطاف‌پذیر است. سلول کشت شده در داربست نیز به شکل یکنواخت تکثیر می‌شود. همچنین، براساس نتایج منحنی‌های تنش و کرنش، مدول یانگ و استحکام داربست تولید شده با این روش از داربست‌های تولید شده از پلی‌کاپرولاتون بدون پلی‌استیرن کمتر است. با وجود این، استحکام داربست تولید شده از پلی‌کاپرولاتون-پلی‌استیرن به نسبت ۲:۲ در محدوده لازم برای ترمیم بافت نرم است. بنابراین، داربست‌های تولید شده محیط مناسبی برای رشد سلول هستند [۲۸]. در پژوهشی دیگر Jin و همکاران داربست سه بعدی با روش الکترورسی دوافشانکی تولید کردند. آنها از دو پلی‌مرپلی‌کاپرولاتون و پلی‌وینیل‌پیرولیدون (PVP) استفاده کردند. پس از الکترورسی، داربست تولید شده برای  $24\text{ h}$  در آب غوطه‌ور شد. با این کار، الیاف PVP متورم و داربست سه بعدی تولید می‌شود (شکل ۱۷). از این‌رو، با روش الکترورسی دوافشانکی به شکل موازی، از مواد

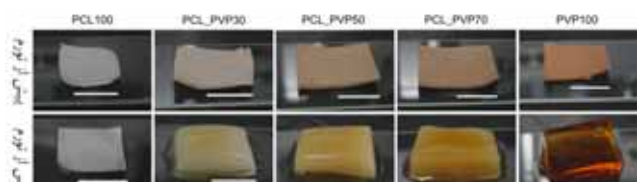


شکل ۱۷- نمایی از فرایند تولید داربست سه بعدی با الکترورسی دوافشانکی [۲۷].

آبگریز و محلول در آب و در ادامه پیچ‌خوردگی فضایی پلیمر محلول در آب، داربست الیافی سه بعدی بسیار متخلخلی تولید شد (شکل ۱۸). نتایج نشان داد، رفتار کششی و مقادیر مدول داربست تولیدی، در محدوده لازم برای ترمیم بافت‌های نرم، مانند پوست و نخاع قرار دارد. همچنین، با استناد به نتایج آزمایش داربست ساخته شده در آزمایشگاه و داخل بدن، این داربست قابلیت کاربرد در مهندسی بافت نرم را دارد [۲۷].

#### الکترورسی همراه فرایند حذف ذرات

در این روش، الکترورسی با فرایند حذف ذرات ترکیب می‌شود. در حقیقت، ذرات نمک یا یخ به وب یا محلول الکترورسی افزوده می‌شوند. در پایان الکترورسی، ذرات حذف می‌شوند. بدین ترتیب، داربستی متخلخل و سه بعدی به دست می‌آید. با این روش می‌توان اندازه منافذ داربست را با کنترل اندازه ذرات، تنظیم کرد. در این سامانه، اگر چه تخلخل داربست می‌تواند باعث انتقال جرم مناسب به مواد مغذی و دفع مواد زائد شود، اتصال داخلی حفره‌ها نیز به

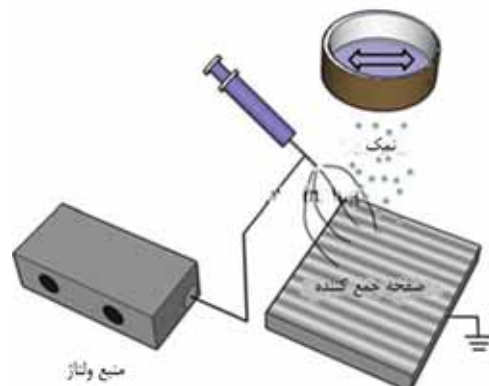


شکل ۱۸- تغییر ساختار داربست‌های ساخته شده با درصد‌های مختلف PCL و PVP پیش و پس از تورم در آب [۲۷].

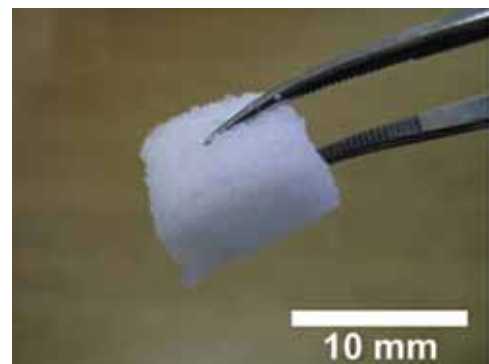
کاهش داده شد. سپس، ترکیب هیالورونیک اسید-کلاژن با موققیت و با استفاده از مخلوط سدیم هیدروکسید (سود-N,N-Dی متیل فرمامید (DMF) حل شد. درادامه، ساختار نرم و کرکی وب نانوالیاف حجیم، ناشی از تغییرات متعدد جت الکتروریسی و رشد عمودی آن توسعه یافت. این ساختار شکننده و اندازه منفذ آن ناکافی است. بنابراین، ذرات نمک سدیم کلرید به عنوان ماده ایجاد کننده تخلخل به طور همزمان، با استفاده از روش الکهای ارتعاشی خودکار، در طول الکتروریسی به طور کنترل شده لایه‌نشانی شدند. درنهایت، با پیوند عرضی و حذف نمک داربستی بر پایه هیالورونیک اسید متورم به دست آمد که هندسه نانوالیاف و درشت‌منفذ خود را حفظ می‌کند (شکل ۱۹). پس از آن، کشت و تکثیر سلول در داربست آزمایش شد. نتایج نشان داد، داربست ساخته شده دارای تخلخل مناسب برای رشد و نفوذ سلول است و با افزایش مقدار کلاژن استحکام کششی نیز افزایش می‌یابد. اضافه کردن مقدار کلاژن به بیش از ۲۰٪ تا حد زیادی باعث بهبود پایداری مکانیکی نانوالیاف کامپوزیتی می‌شود. بنابراین، داربست‌های تهیه شده برای کاربردهای مهندسی بافت مناسب هستند [۲۹].

#### الکتروریسی با ولتاژ مثبت و منفی

از دیدگاه نظری، در الکتروریسی پس از نشستن نانوالیاف روی یکدیگر و با گذشت زمان، انتظار می‌رود تا نانوالیاف الکتروریسی شده سه‌بعدی و با ضخامت کافی به دست آید. اما در حقیقت، نانوالیاف الکتروریسی شده با بیشتر پلیمرها با روش الکتروستاتیکی دارند. بارهای باقی مانده در نانوالیاف تازه رسیده شده نیز می‌تواند نانوالیاف وارد شونده را دفع کند و از تشکیل داربست‌های نانولیفی



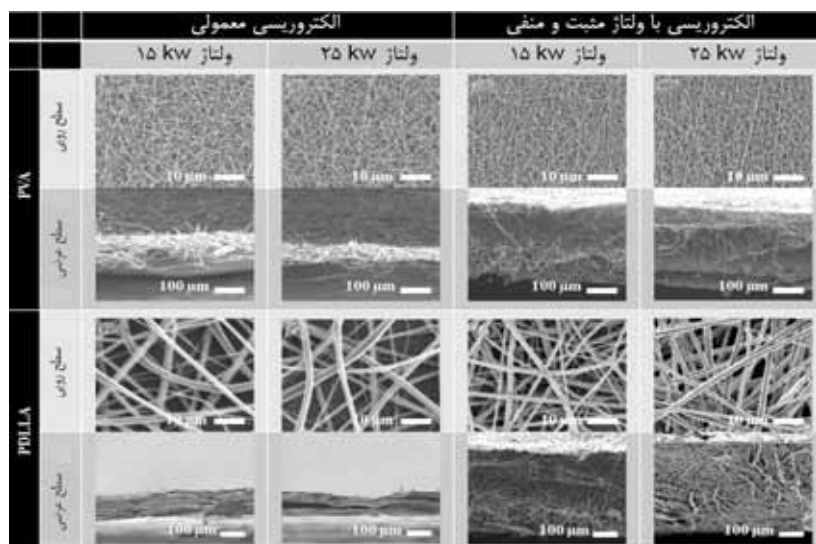
(الف)



(ب)

شکل ۱۹- (الف) نمایی از مراحل الکتروریسی و لایه‌نشانی نمک و (ب) تصویر کامپوزیت ساخته شده نمک- نانوالیاف [۲۹].

نفوذ سلول به داخل داربست کمک می‌کند [۳۰، ۳۱]. Kim و همکاران با کمک روش الکتروریسی و حذف نمک، داربست نانولیفی از هیالورونیک اسید (HA) و کلاژن تولید کردند. برای این کار، فاصله میان افسانک و جمع‌کننده در الکتروریسی

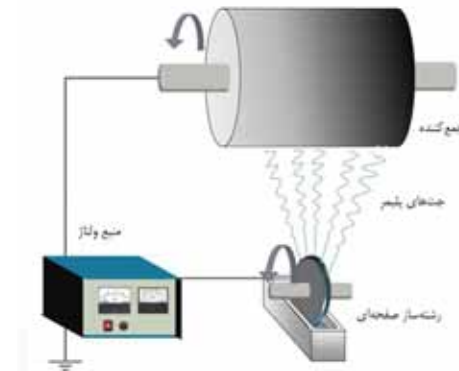


شکل ۲۰- تصاویر SEM داربست‌های ساخته شده در ولتاژ‌های مختلف [۳۴].

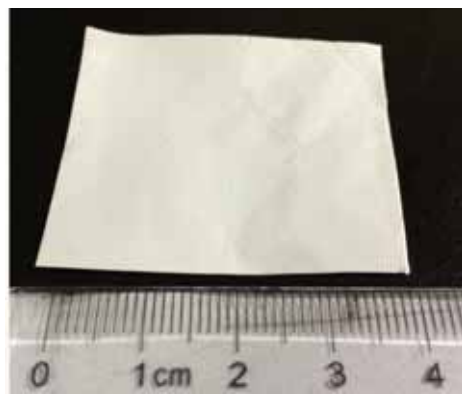
## دیاکت فامی



(ب)



(الف)



(د)



(ج)

شکل ۲۱- (الف) نمایی از الکتروریسی صفحه‌ای (بدون سوزن)، (ب) الیاف جمع شده در استوانه، (ج) لایه الیاف جمع شده از استوانه و (د) لایه نانوالیاف تولید شده با الکتروریسی سوزنی [۳۶].

از سطح باز مایع است. تاکنون انواع مختلف الکتروریسی بدون سوزن اختراع شده است [۳۵]. Li و همکاران به کمک روش الکتروریسی بدون سوزن، داربست سه‌بعدی پلی‌کاپرولاتکتون را تولید کردند و اثر آن را بر جذب پروتئین، چسبندگی، تکثیر و نفوذ سلول مطالعه کردند. داربست تهیه شده با این روش، در مقایسه با داربست تولید شده با روش الکتروریسی سوزنی ضخامت بیشتری دارد (شکل ۲۱). همچنین، نتایج نشان می‌دهد، داربست سه‌بعدی تهیه شده پتانسیل خوبی برای مهندسی بافت نرم دارد [۳۶].

ضخیم جلوگیری کند [۳۲، ۳۳]. Wang و همکاران با دو پلیمر پلی‌وینیل الکل (PVA) و پلی(D-L-لاکتید) (PDLLA) داربست سه‌بعدی تهیه کردند. در این پژوهش، ابتدا به سر سوزن ولتاژ ثابت اعمال شد و لایه‌ای از نانوالیاف روی جمع‌کننده انباسته شد. سپس، به سر سوزن ولتاژ منفی اعمال شد. از آنجا که محلول پلیمری دارای بار منفی می‌شود، لایه جدید و لایه قبلی یکدیگر را جذب می‌کنند. بدین ترتیب، داربست ضخیم تهیه می‌شود [۳۴]. نتایج نشان می‌دهد، داربست‌های تهیه شده با این روش در بازه زمانی یکسان، ضخامت بیشتری نسبت به داربست‌های تهیه شده با الکتروریسی معمولی دارند (شکل ۲۰).

## نتیجه‌گیری

مهندسی بافت علمی است که به منظور ترمیم و بهبود بافت صدمه دیده استفاده می‌شود. اجزای اصلی در مهندسی بافت شامل داربست، سلول‌ها و عوامل رشد است. ماتریس‌های استفاده شده به عنوان

## الکتروریسی بدون سوزن

در این روش، به جای تولید جت پلیمر از نوک یک سوزن، دهها تا صدھا جت روی سطحی آزاد از محلول پلیمری تشکیل می‌شود. این عمل می‌تواند به تولید داربست‌های سه‌بعدی منجر شود. الکتروریسی بدون سوزن، در حقیقت تشکیل نانوالیاف به طور مستقیم

این مقاله، به پیش‌رفتهای اخیر در تولید داربست‌های نانولیفی سه‌بعدی پرداخته شد. بدین منظور، روش‌های الکتروریسی اصلاح جمع‌کننده، صفحه سرد، حمام انعقاد، چاپ مستقیم، دوافشانکی و هم‌محور، همراه با فرایند حذف ذرات، با ولتاژ مثبت و منفی و بدون سوزن شرح داده شد. از نتایج پژوهش‌های مرور شده در مقاله حاضر، می‌توان برای رسیدن به روشی بهینه برای تولید داربست‌های سه‌بعدی و متخلخل، به‌منظور کاربرد در مهندسی بافت استفاده کرد.

داربست، باید طوری طراحی شوند که اجازه نفوذ مواد غذایی را به سلول‌های کاشته شده بدهن و سلول‌ها را نیز سازماندهی کنند. داربست‌های نانولیفی سه‌بعدی و متخلخل، افرون بر شباهت به ماتریس بروون‌سلولی بافت‌های بدن، بستر مناسبی برای نفوذ و تکثیر سلول هستند. روش‌های مختلفی برای تولید داربست وجود دارد، اما الکتروریسم مناسب‌ترین آن‌هاست. با طراحی روش‌های مناسب مانند جمع‌آوری الیاف در قالب‌های ویژه یا در حمام انعقاد، استفاده از ذراتی که ایجاد حفره می‌کنند و اصلاح فرایند الکتروریسم می‌توان داربست سه‌بعدی و متخلخل تولید کرد. در

مراجعة

1. Ravichandran R.K., Sundaramurthi D., Gandhi S., Sethuraman S., and Krishnan U.M., Bioinspired Hybrid Mesoporous Silica–Gelatin Sandwich Construct for Bone Tissue Engineering, *Microporous. Mesoporous. Mater.*, **187**, 53–62, 2014.
  2. Ramier J., Bouderlique T., Stoilova O., Manolova N., Rashkov L., Langlois V., Renard E., Albanese P., and Grande D., Biocomposite Scaffolds Based on Electrospun Poly(3-Hydroxybutyrate) Nanofibers and Electrosprayed Hydroxyapatite Nanoparticles for Bone Tissue Engineering Applications, *Mater. Sci. Eng. C.*, **38**, 161–169, 2014.
  3. Sundaramurthi D., Krishnan U.M., and Sethuraman S., Electrospun Nanofibers as Scaffolds for Skin Tissue Engineering, *Polym. Rev.*, **54**, 348–376, 2014.
  4. Pham Q.P., Sharma U., and Mikos A.G., Electrospinning of Polymeric Nanofibers for Tissue Engineering Applications: A Review, *Tissue Eng.*, **12**, 1197–1211, 2006.
  5. Cai S., Xu H., Jiang Q., and Yang Y., Novel 3D Electrospun Scaffolds with Fibers Oriented Randomly and Evenly in Three Dimensions to Closely Mimic the Unique Architectures of Extracellular Matrices in Soft Tissues: Fabrication and Mechanism Study, *Langmuir*, **29**, 2311–2318, 2013.
  6. Holzwarth J.M. and Ma P.X., 3D Nanofibrous Scaffolds for Tissue Engineering, *J. Mater. Chem.*, **21**, 10243–10251, 2011.
  7. Kim M.S. and Kim G., Three-Dimensional Electrospun Poly-caprolactone (PCL)/Alginate Hybrid Composite Scaffolds, *Carbohyd. Polym.*, **114**, 213–221, 2014.
  8. Lee S., Cho S., Kim M., Jin G., Jeong U., and Jang J.H., Highly Moldable Electrospun Clay-Like Fluffy Nanofibers for Three-Dimensional Scaffolds, *ACS Appl. Mater. Interfaces.*, **6**, 1082–1091, 2014.
  9. Jeong S.I., Burns N.A., Bonino C.A., Kwon I.K., Khan S.A., and Alsberg E., Improved Cell Infiltration of Highly Porous 3D Nanofibrous Scaffolds Formed by Combined Fiber–Fiber Charge Repulsions and Ultra-Sonication, *J. Mater. Chem. B.*, **2**, 8116–8122, 2014.
  10. Ng R., Zang R., Yang K.K., Liu N., and Yang S.T., Three-Dimensional Fibrous Scaffolds with Microstructures and Nano-textures for Tissue Engineering, *RSC. Adv.*, **2**, 10110–10124, 2012.
  11. Vaquette C. and Cooper-White J.J., Increasing Electrospun Scaffold Pore Size with Tailored Collectors for Improved Cell Penetration, *Acta Biomater.*, **7**, 2544–2557, 2011.
  12. Blakeney B.A., Tambralli A., Anderson J.M., Andukuri A., Lim D.J., Dean D.R., and Jun H.W., Cell Infiltration and Growth in a Low Density, Uncompressed Three-Dimensional Electrospun Nanofibrous Scaffold, *Biomaterials*, **32**, 1583–1590, 2011.
  13. Rogers C.M., Morris G.E., Gould T.W., Bail R., Toumpaniari S., Harrington H., Dixon J.E., Shakesheff K.M., Segal J., and Rose F.R., A Novel Technique for the Production of Electrospun Scaffolds with Tailored Three-Dimensional Micro-Patterns Employing Additive Manufacturing, *Biofabrication*, **6**, 035003, 2014.
  14. Wang F., Zhang W., Shao Z., Sun Y., and Ru C., Electrospinning System with Tunable Collector for Fabricating Three-Dimensional Nanofibrous Structures, *Micro. Nano. Lett.*, **9**, 24–27, 2014.
  15. Jin L., Feng Z.Q., Wang T., Ren Z., Ma S., Wu J., and Sun

- D., A Novel Fluffy Hydroxyapatite Fiber Scaffold with Deep Interconnected Pores Designed for Three-Dimensional Cell Culture, *J. Mater. Chem. B.*, **2**, 129–136, 2014.
16. Hild M., Toskas G., Aibibu D., Wittenburg G., Meissner H., Cherifa C., and Hunda R.D., Chitosan/Gelatin Micro/Nanofiber 3D Composite Scaffolds for Regenerative Medicine, *Compos. Interface.*, **21**, 301–308, 2013.
17. Sheikh F.A., Ju H.W., Lee J.M., Moon B.M., Park H.J., Lee O.J., Kim J.H., Kim D.K., and Park C.H., 3D Electrospun Silk Fibroin Nanofibers for Fabrication of Artificial Skin, *Nanomed-Nanotechnol.*, **11**, 681-691, 2015.
18. Hong S. and Kim G., Fabrication of Size-Controlled Three-Dimensional Structures Consisting of Electrohydrodynamically Produced Polycaprolactone Micro/Nanofibers, *Appl. Phys. A.*, **103**, 1009–1014, 2011.
19. Yokoyama Y., Hattori S., Yoshikawa C., Yasuda Y., Koyama H., Takato T., and Kobayashi H., Novel Wet Electrospinning System for Fabrication of Spongiform Nanofiber 3-Dimensional Fabric, *Mater. Lett.*, **63**, 754–756, 2009.
20. Meli L., Miao J., Dordick J.S., and Linhardt R.J., Electrospinning from Room Temperature Ionic Liquids for Biopolymer Fiber Formation, *Green Chem.*, **12**, 1883–1892, 2010.
21. Kim M.S., Son J.G., Lee H.J., Hwang H., Choi C.H., and Kim G.H., Highly Porous 3D Nanofibrous Scaffolds Processed with an Electrospinning/Laser Process, *Curr. Appl. Phys.*, **14**, 1-7, 2014.
22. Moroni L., Schotel R., Hamann D., de Wijn J.R., and van Blitterswijk C.A., 3D Fiber-Deposited Electrospun Integrated Scaffolds Enhance Cartilage Tissue Formation, *Adv. Funct. Mater.*, **18**, 53–60, 2008.
23. Lee J., Jang J., Oh H., Jeong Y.H., and Cho D.W., Fabrication of a Three Dimensional Nanofibrous Scaffold with Lattice Pores Using Direct-Write Electrospinning, *Mater. Lett.*, **93**, 397-400, 2013.
24. Lee J., Lee S.Y., Jang J., Jeong Y.H., and Cho D.W., Fabrication of Patterned Nanofibrous Mats Using Direct-Write Electrospinning, *Langmuir*, **28**, 7267–7275, 2012.
25. Milleret V., Simona B., Neuenschwander P., and Hall H., Tuning Electrospinning Parameters for Production of 3D-Fiber-Fleeces with Increased Porosity for Soft Tissue Engineering Applications, *Eur. Cell. Mater.*, **21**, 286- 303, 2011.
26. Sun B., Long Y.Z., Yu F., Li M.M., Zhang H.D., Li W.J., and Xu T.X., Self-Assembly of a Three-Dimensional Fibrous Polymer Sponge by Electrospinning, *Nanoscale*, **4**, 2134–2137, 2012.
27. Jin G., Lee S., Kim S.H., Kim M., and Jang J.H., Bicomponent Electrospinning to Fabricate Three-Dimensional Hydrogel-Hybrid Nanofibrous Scaffolds with Spatial Fiber Tortuosity, *Biomed. Microdevices*, **16**, 793-804, 2014.
28. Nam J., Huang Y., Agarwal S., and Lannutti J., Improved Cellular Infiltration in Electrospun Fibervia Engineered Porosity, *Tissue Eng.*, **13**, 2249-2257, 2007.
29. Kim T.G., Chung H.J., and Park T.G., Macroporous and Nanofibrous Hyaluronic Acid/ Collagen Hybrid Scaffold Fabricated by Concurrent Electrospinning and Deposition/Leaching of Salt Particles, *Acta Biomater.*, **4**, 1611–1619, 2008.
30. Wang Y., Wang B., Wang G., Yin T., and Yu Q., A Novel Method for Preparing Electrospun Fibers with Nano-/Micro-Scale Porous Structures, *Polym. Bull.*, **63**, 259–265, 2009.
31. Simonet M. and Schneider O.D., Ultraporous 3D Polymer Meshes by Low-Temperature Electrospinning: Use of Ice Crystals as a Removable Void Template, *Polym. Eng. Sci.*, **47**, 2020–2026, 2007.
32. Tong H.W. and Wang M., Electrospinning of Poly(Hydroxybutyrate-Cohydroxyvalerate) Fibrous Tissue Engineering Scaffolds in Two Different Electric Fields, *Polym. Eng. Sci.*, **51**, 1325–1338, 2011.
33. Tong H.W. and Wang M., Electrospinning of Fibrous Polymer Scaffolds Using Positive Voltage or Negative Voltage: A Comparative Study, *Biomed. Mater.*, **5**, 054110-054125, 2010.
34. Tong H.W. and Wang M., A Novel Technique for the Fabrication of 3D Nanofibrous Scaffolds Using Simultaneous Positive Voltage Electrospinning and Negative Voltage Electrospinning, *Mater. Lett.*, **94**, 116–120, 2013.
35. Niu H. and Lin T., Fiber Generators in Needleless Electrospinning, *J. Nanomater.*, **2012**, 1-13, 2012.
36. Li D., Wu T., He N., Wang J., Chen W., He L., Huang C., Ei-Hamshary H.A., Al-Deyab S.S., Ke Q., and Mo X., Three-Dimensional Polycaprolactone Scaffold via Needleless Electrospinning Promotes Cell Proliferation and Infiltration, *Colloids Surf. B.*, **121**, 432–443, 2014.